

# Ferromágneses Ising-modell mágnesezettségének hőmérsékletfüggése köbös rácson Swendsen-Wang algoritmusával ( $H = 0$ )

Trencsényi Márton, ELTE fizikus, VI. évf.  
2008. jan. 10.

## 1. Bevezetés

A programot C++-ban implementáltam Windows alá Visual Studio alatt, így a fordításhoz utóbbi szükséges. A kód struktúrája klasszikus C++, azaz a deklarációk a .hpp fileokban, a definíciók a .cpp fileokban találhatók.

## 2. Forráskód magyarázat

### 2.1 Support osztályok

A kód jónéhány segítő osztályt tartalmaz, amelyek elabsztrahálják az alacsony szintű műveleteket a “fizikát” tartalmazó rész elől. Ezek:

#### Field.hpp és Field.cpp

**Field<T>** - ez az osztály egy dinamikusan allokált, T típusú elemeket tartalmazó tömböt absztrahál. Ennek megfelelően a konstruktorban adjuk meg, hogy hány elemre van szükségünk. A **Randomize()** függvény randomizálja, a **Clear()** függvény kinullázza az egész tömböt. A **Get()** és **Set()** függvényekkel kérdezzük le ill. állítjuk be az elemeket.

**BitField** – egy bitmezőt absztrahál. Azért nem a fenti template osztályt használom erre, mert nincs beépített 1 bites adattípus a C++-ban (a boolean általában 8 bites), így bit szintű shift műveleteket használok íráshoz és olvasáshoz. Ugyanazokat a műveleteket támogatja, mint a **Field<T>** osztály.

#### Lattice.hpp és Lattice.cpp

**Lattice<T>** - egy 3D-s “köbös” rácsot absztrahál, ahol a rácspontokban T típusú elemek ülnek. Belül **Field<T>** osztályt használ tárolásra, és ugyanazokat a függvényeket támogatja. A hozzáadott érték annyi, hogy a **Get()** és **Set()** függvények x, y és z koordinátákat vesznek át, amiből kiszámolják a megfelelő 1D indexet.

**BitLattice** – a **BitField** osztályt használó 3D-s köbös rács, a fentieknek megfelelően.

## Random.hpp és Random.cpp

**Random** – Sokféle véletlen szám generátor létezik, az általam választott konkrét implementációt absztrahálja a **Random** osztály. A stat. fiz. szimulációkban kitüntetett szerepe van a véletlen számok generálásának, az eredmények helyessége függ tőle. Viszonylag gyorsan, osztásokkal lehet pszeudo-random számokat generálni; ha erősebb véletlen számok kellene, az futási időben drágább. A Win32 platformon a Microsoft a Wincrypt API használatát ajánlja véletlen számok generálásához. Nevének megfelelően ez titkosításhoz is elég erős véletlen számokat generál, így az ajánlásnak megfelelően *először* ezt használtam. A Wincrypt érzésem szerint túl erős ehhez a szimulációhoz, azaz gyengébb de gyorsabb generátor is elég lenne, ezért áttértem az M. Matsumoto & T. Nishimura által javasolt “Mersenne Twister” verzióra (ld. M. Matsumoto & T. Nishimura, *ACM Transactions on Modeling and Computer Simulation*, vol. 8, no. 1, 1998, pp. 3-30). A mersenne-féle véletlen szám generátort nem implementáltam, hanem egy standard implementációt használtam, melyet a <http://www.agner.org/random/> weblapról lehet letölteni. Méréseim szerint a Wincrypt API-nál a mersenne durván 10-szer gyorsabb, és ezen a problémán nem mutatkozik a véletlen számok gyengesége.

A **Random** osztály tartalmaz egy **GetReal()** függvényt, amely visszaad egy 0 és 1 közötti valós számot, a **GetBit()** egy véletlen bitet, a **GetBit(real probability)** egy <probability> valószínűséggel 1 bitet, a **Randomize()** egy buffert tölt ki véletlen byteokkal.

## Timer.hpp és Timer.cpp, TimeSpan.hpp és TimeSpan.cpp

**Timer** – ezt az osztályt a profiling során használtam időmérésre. A **Start()** függvény elindítja az időmérést, az **End()** megállítja. A **Start()**-ot újra meghívva tovább *folytatja* a mérést. A msec felbontású **GetTickCount()** Win32 függvényt használom belül.

**TimeSpan** – belül ezt használja a **Timer** osztály, hogy az eltelt msec időből kinyomtatható óra + perc + másodperc + msec adatot csináljon.

## 2.2 Fizikát tartalmazó osztályok

Az egyetlen fizikát tartalmazó osztály:

### Swendsen.hpp és Swendsen.cpp

**Swendsen** – ez a program legnagyobb osztálya. Kívülről ugyanakkor ez a legkisebb, csak három publikus metódusa van. A **Swendsen()** konstruktornak adjuk át, hogy mekkora rácsot szeretnénk szimulálni. Az **Init()** függvényt kell a szimuláció elején meghívni, és beadni a beta hőmérséklet paramétert és J csatolási állandót. A szimuláció léptetését a **Step()** függvénnyel végezzük. A **Step()** után a **Magnetization()** függvény adja vissza a rács makroszkópikus mágnesezettségét.

A használt member adatstruktúrák:

**BitLattice** **sites** – a spinek

`BitLattice` `xbonds`, `ybonds`, `zbonds` – mivel 3D-ben vagyunk ezért 3x annyi bond van a spin siteok között, mint spin site.

`Lattice<int>` `memberships` – melyik spin melyik clusterbe tartozik.

`Field<int>` `clusters` – clusterok lánc; itt tudunk két clustert linkelni. Amennyiben az *i*-edik elem értéke *i*, a cluster nincs láncolva. Amennyiben az *i*-edik elem értéke *j*, az *i*-edik és *j*-edik cluster egy clusternek tekintendő.

Az `Init()` függvény a `sites` spinrácsot randomizálja. A `Step()` először meghívja a `RandomizeBonds()`-ot, utána a `Cluster()`-t és végül a `FlipClusters()` függvényt. *Ez maga a Swendsen-Wang algoritmus!*

A `RandomizeBonds()` minden egyes bond-ra (*x*, *y* és *z* irányú) megnézi, hogy a két spin szomszédja egy irányban áll-e, és ha igen, akkor  $1 - \exp(-2 * \beta * J)$  valószínűséggel beállítja a bondot.

A `Cluster()` függvény implementálja a *Hoshen-Kopelman* cluster algoritmust. Ez a függvény a legrondább az egész kódban, mivel meglátásom szerint a HK algoritmus rengeteg esetkezelést igényel: az eljárás lényege, hogy egy írógép fejét szimulálva bejárjuk a rácsot, és megnézzük, hogy az *x*, *y* és *z* irányban bejárás szerint visszafele lévő bondok be vannak-e állítva. Ha igen, akkor a clustereket linkeljük. A probléma ezzel, hogy a rács széleinél nem szabad visszanézni, így attól függően, hogy hány dimenziós a probléma, rengeteg if-et kell tartalmazzon a kód. Alternatív lehetne *n*-dimenziós kódot írni, de az is elég bonyolult lenne.

Amikor két cluster-t össze kell linkelni, `LinkCluster()` függvényt hívjuk meg. Ez rekurzívan végigjárja a `clusters` láncot, ameddig meg nem találja a lánc végét, és odaragasztja az új clustert.

A `Step()` utolsó lépése a `FlipClusters()` függvény. Ez a clusterok linkelését figyelembe véve clusterenként az összes spint együtt 0.5 valószínűséggel megfordítja.

## 2.3 Driver

### Main.c

A program `main.c` file-ja egy egyszerű driver. Argumentumként átveszi, hogy

- abszolút átlagot számoljon-e
- milyen nevű CSV fileba írja a  $\beta$ , magnetization adatokat
- mekkora ráccsal dolgozzon (*L*)
- hány lépést végezzen a szimuláció minden egyes  $\beta$  értékével
- milyen  $\beta$  értékkel kezdjen
- milyen  $\beta$  értékig menjen fel
- mekkorákat ugorjon  $\beta$ tával
- mekkora legyen *J*, a csatolási állandó

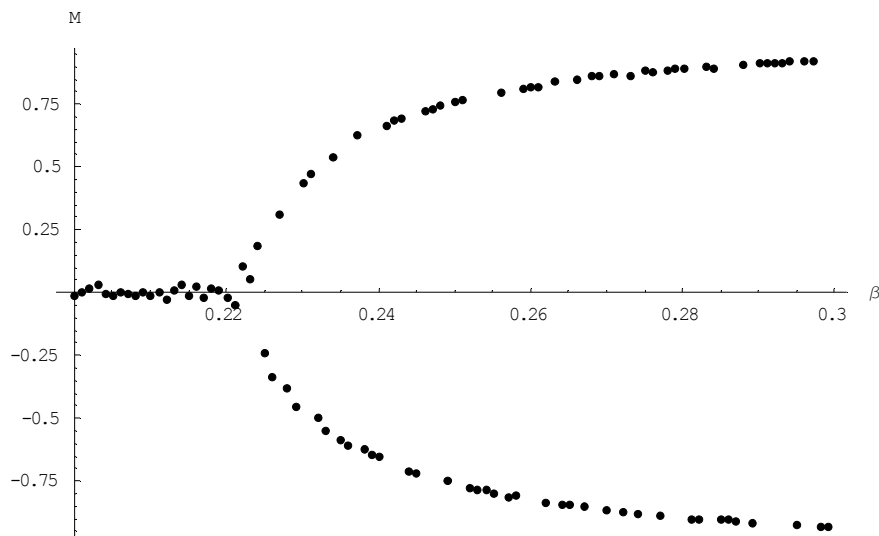
Azaz

```
SwendsenWang.exe <absAvg> <outFile.csv> <length> <nSteps> <betaFrom> <betaTo> <betaIncr> <J>
```

Az első paraméter némi magyarázatra szorul: ha “absAvg”, akkor a program minden egyes lépés után kiolvassa a makroszkópikus mágnesezettséget, annak az abszolút értékét veszi, és a lépések során átlagol. Így természetesen nem kapjuk vissza a megszokott “kétágú villa” plotot, de az átlagolás miatt jobb eredményt kapunk. Ha “noAbsAvg”-t adunk be, akkor az utolsó lépés után előálló mágnesezettséget veszi a program, és megkapjuk a “kétágú villa” plotot. Egy beta futás után az <outFile.csv> file-ba beírja a „beta, átlagos mágnesezettség” adatot mint egy sort.

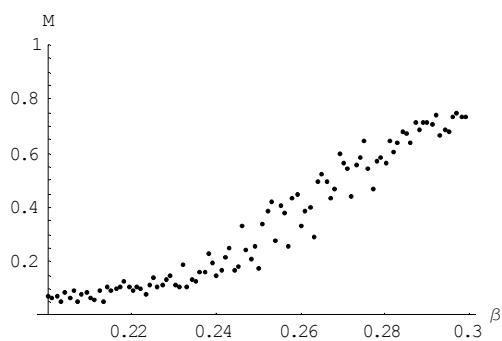
### 3. Szimulációs eredmények

A szimuláció szépen mutatja a ferromágneses viselkedést. A  $\beta$  paramétert növelve elérkezünk a kritikus  $\beta$  „inverz-hőmérsékletéhez”, ahol spontán szimmetriasértés következik be.

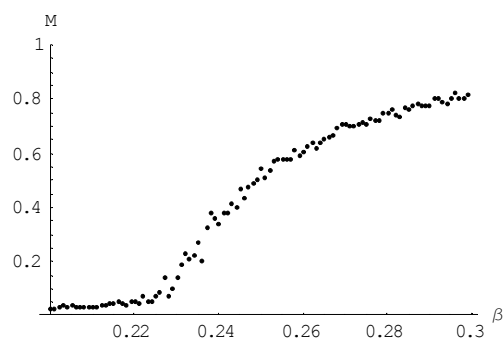


1. ábra: a ferromágneses Ising modell  $L = 50$  rács esetén 50 lépéssel ( $J = 1$ )

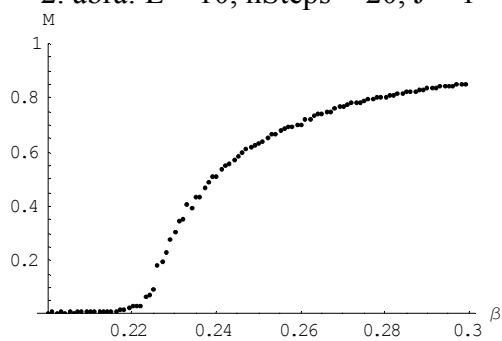
Jól látható, hogy a kritikus  $\beta$  0.22 körül helyezkedik el. Ahhoz, hogy értékét pontosan meghatározzam, különböző ( $L$ ,  $nSteps$ ) kombinációkkal végeztem méréseket.



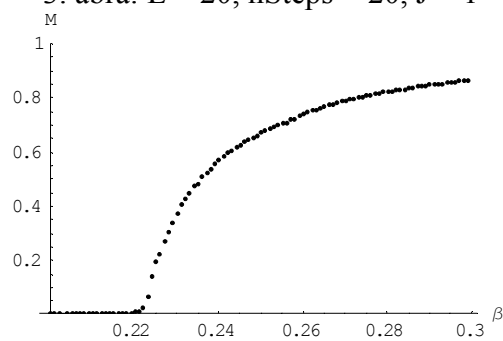
2. ábra:  $L = 10$ ,  $nSteps = 20$ ,  $J = 1$



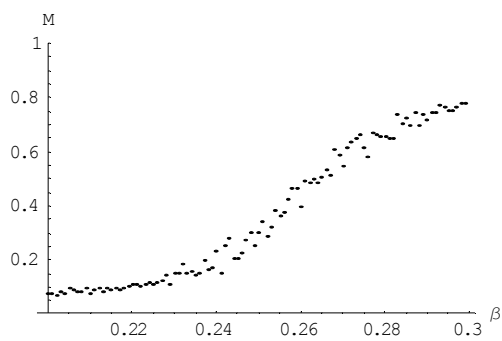
3. ábra:  $L = 20$ ,  $nSteps = 20$ ,  $J = 1$



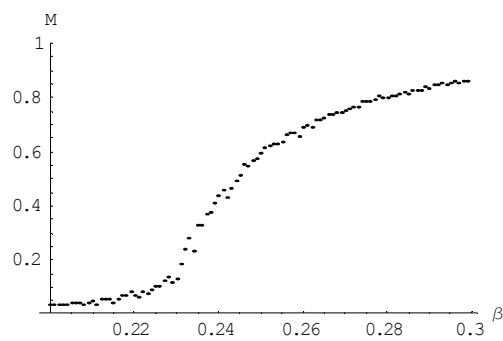
4. ábra:  $L = 50$ ,  $nSteps = 20$ ,  $J = 1$



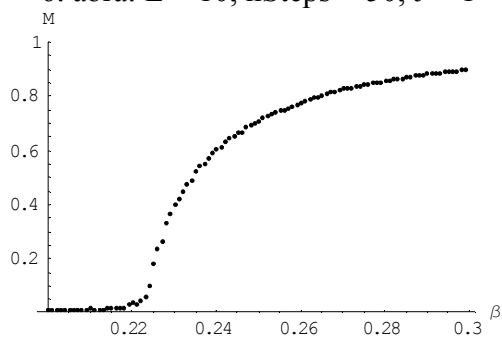
5. ábra:  $L = 100$ ,  $nSteps = 20$ ,  $J = 1$



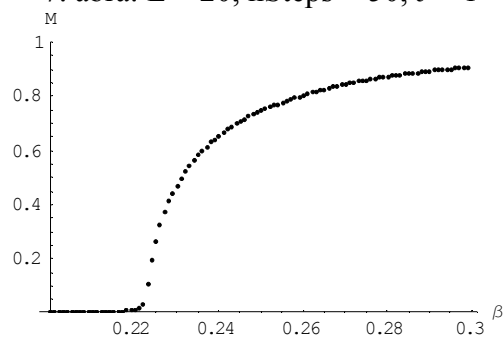
6. ábra:  $L = 10$ ,  $nSteps = 50$ ,  $J = 1$



7. ábra:  $L = 20$ ,  $nSteps = 50$ ,  $J = 1$

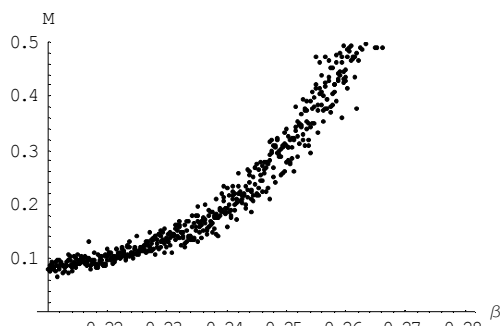


8. ábra:  $L = 50$ ,  $nSteps = 100$ ,  $J = 1$

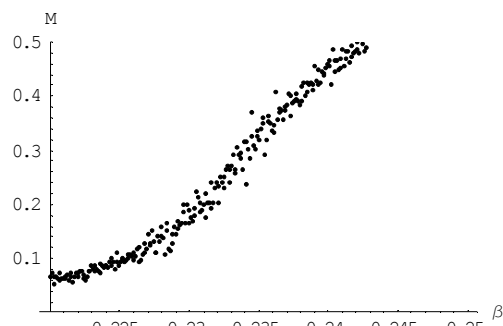


9. ábra:  $L = 100$ ,  $nSteps = 50$ ,  $J = 1$

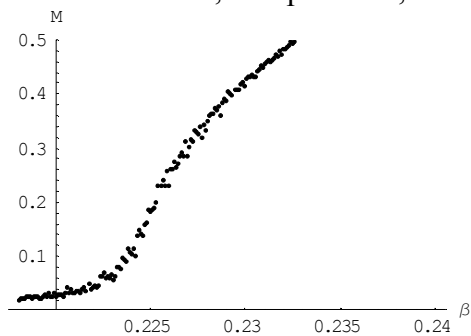
Hogy jobban lehessen látni a mágnesezettség viselkedését a kritikus  $\beta$  körül, nagyfelbontású szimulációkat is végeztem:



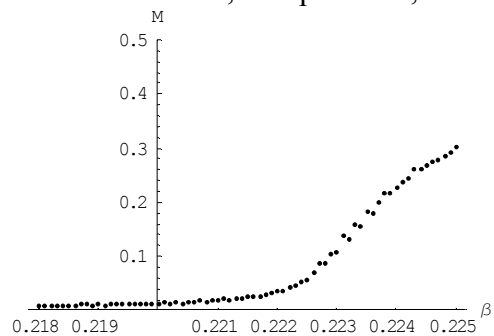
10. ábra:  $L = 10$ ,  $nSteps = 100$ ,  $J = 1$



11. ábra:  $L = 20$ ,  $nSteps = 100$ ,  $J = 1$



12. ábra:  $L = 50$ ,  $nSteps = 100$ ,  $J = 1$

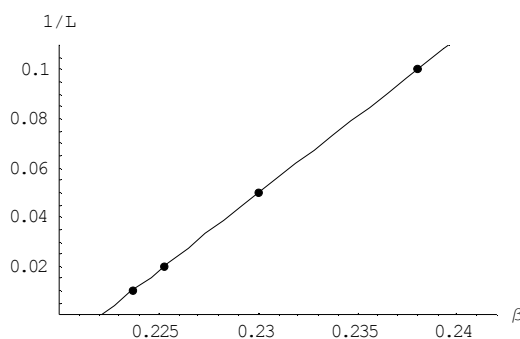


13. ábra:  $L = 100$ ,  $nSteps = 100$ ,  $J = 1$

Az ábrákon szépen látszik a *finite size scaling* effektus, azaz, hogy  $\beta_{crit}$  értéke függ  $L$ -től. Ahhoz, hogy a végtelen limeszt meghatározzuk, először rögzíteni kell, hogy hogyan határozzuk meg  $\beta_{crit}$ -et. Erre a konvenció itt: ahol  $M = 0.2$ . A fenti ábrák alapján:

$L$	$\beta_{crit}$
10	0.238
20	0.230
50	0.2253
100	0.2237

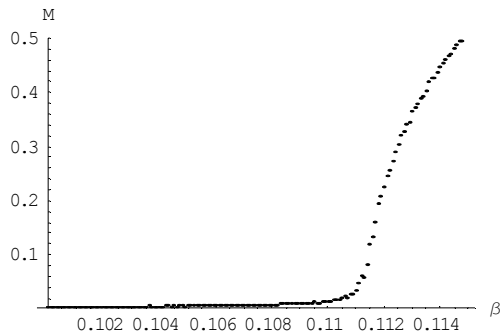
A  $\beta_{crit} - 1/L$  összefüggést ábrázolva:



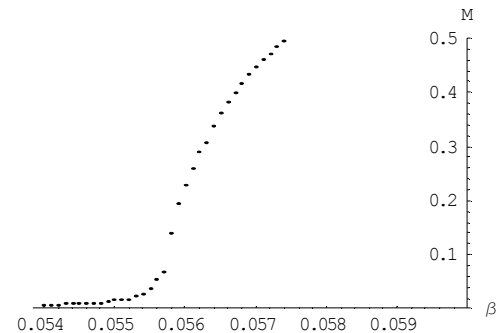
14. ábra: finite size scaling

Az egyenes egyenlete  $1/L = -1.3988 + 6.2980 \beta_{crit}$ . Az x-tengelyt a  $\beta_{crit} = 0.2221$  pontban metszi, így ezt fogadjuk el kritikus értéknek  $J = 1$  esetén.

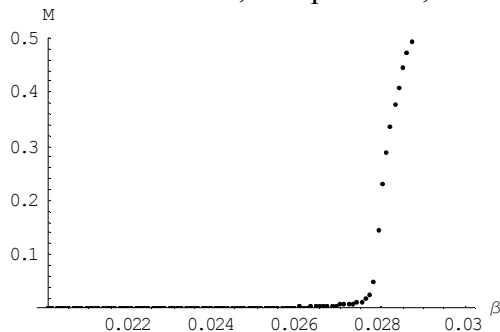
Kérdés még, hogy hogyan függ  $\beta_{\text{crit}}$  J-től? Az összefüggést  $L = 100$  méreten vesszük fel. Ehhez az alábbi szimulációkat végeztem:



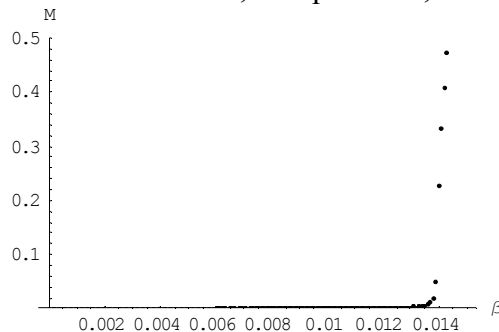
15. ábra:  $L = 100$ ,  $n\text{Steps} = 100$ ,  $J = 2$



16. ábra:  $L = 100$ ,  $n\text{Steps} = 100$ ,  $J = 4$



17. ábra:  $L = 100$ ,  $n\text{Steps} = 100$ ,  $J = 8$



18. ábra:  $L = 100$ ,  $n\text{Steps} = 100$ ,  $J = 16$

Ezek alapján:

<b>J</b>	<b><math>\beta_{\text{crit}}</math></b>
1.0	0.222
2.0	0.111
4.0	0.055
8.0	0.027
16.0	0.012

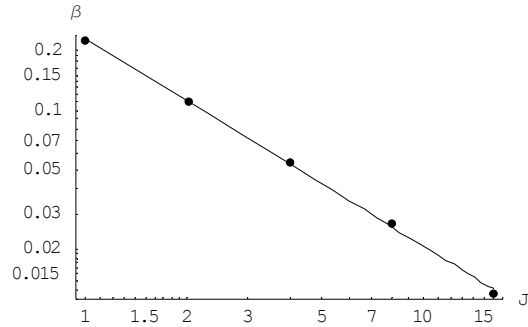
Az összefüggésről látszik, hogy hatványfüggvény. A legjobb illesztés:

$$\text{Log}[\beta_{\text{crit}}] = -1.477 - 1.045 \text{ Log}[J]$$

azaz

$$\beta_{\text{crit}} = \text{Exp}[-1.477] \times J^{-1.045}$$

Log-Log ploton ábrázolva:



19. ábra:  $\beta_{\text{crit}}$  függése J-től

Az összefüggés jól láthatóan  $1/J$ -s, azaz kétszer akkora  $J$  esetén fele akkora lesz  $\beta_{\text{crit}}$ . Mivel  $\beta \sim 1/T$  (Kelvin), ez azt jelenti, hogy  $J$  egyenes arányos  $T_{\text{crit}}$ -tel a ferromágneses Ising modell esetén ( $H = 0$ ).

#### 4. Ábrák előállítása

1. SwendsenWang.exe noAbsAvg SW\_V\_50\_50.csv 50 50 0.2 0.3 0.001 1.0
2. SwendsenWang.exe absAvg SW\_F\_10\_20.csv 10 20 0.2 0.3 0.001 1.0
3. SwendsenWang.exe absAvg SW\_F\_20\_20.csv 20 20 0.2 0.3 0.001 1.0
4. SwendsenWang.exe absAvg SW\_F\_50\_20.csv 50 20 0.2 0.3 0.001 1.0
5. SwendsenWang.exe absAvg SW\_F\_100\_20.csv 100 20 0.2 0.3 0.001 1.0
6. SwendsenWang.exe absAvg SW\_F\_10\_50.csv 10 50 0.2 0.3 0.001 1.0
7. SwendsenWang.exe absAvg SW\_F\_20\_50.csv 20 50 0.2 0.3 0.001 1.0
8. SwendsenWang.exe absAvg SW\_F\_50\_50.csv 50 50 0.2 0.3 0.001 1.0
9. SwendsenWang.exe absAvg SW\_F\_100\_50.csv 100 50 0.2 0.3 0.001 1.0
10. SwendsenWang.exe absAvg SW\_HR\_10\_100.csv 10 100 0.218 0.225 0.0001 1.0
11. SwendsenWang.exe absAvg SW\_HR\_20\_100.csv 20 100 0.21 0.28 0.0001 1.0
12. SwendsenWang.exe absAvg SW\_HR\_50\_100.csv 50 100 0.22 0.25 0.0001 1.0
13. SwendsenWang.exe absAvg SW\_HR\_100\_100.csv 100 100 0.218 0.225 0.0001 1.0
15. SwendsenWang.exe absAvg SW\_HR\_100\_100\_2.csv 100 100 0.10 0.115 0.0001 2.0
16. SwendsenWang.exe absAvg SW\_HR\_100\_100\_4.csv 100 100 0.054 0.06 0.0001 4.0
17. SwendsenWang.exe absAvg SW\_HR\_100\_100\_8.csv 100 100 0.02 0.03 0.0001 8.0
18. SwendsenWang.exe absAvg SW\_HR\_100\_100\_16.csv 100 100 0.00 0.015 0.0001 16.0